

## اثر آلومینیم بر ریزساختار و خواص مکانیکی فولاد پرمگنتر آستنیتی $*\text{Fe-18Mn-0.6C}$

سعید مجیدی<sup>(۱)</sup>

شهرام خیراندیش<sup>(۲)</sup>

مجید عباسی<sup>(۳)</sup>

### چکیده

در این مقاله اثر افزودن ۲/۳ درصد وزنی آلومینیم بر تغییرات ریزساختار و خواص کششی فولاد پرمگنتر آستنیتی با ترکیب  $\text{Fe-18Mn-0.6C}$  بررسی شد. به این منظور، نمونه‌ها به صورت شمش بروش ریخته‌گری دقیق تولید شدند و پس از همگن‌سازی، نورد گرم انجام شد. آزمون کشش در دمای محیط انجام شد. همچنین مطالعات میکروسکوپی به وسیله میکروسکوپ‌های نوری و الکترونی رویی روی ریزساختار و سطوح شکست انجام شد. نتایج نشان داد که آلومینیم سبب بزرگ‌تر شدن دانه‌های آستنیت می‌شود. همچنین افزودن ۲/۳ درصد وزنی آلومینیم باعث افزایش استحکام تسلیم و تغییر طول موسمان، کاهش حد نهایی کشش شده و پدیده دنا‌انه‌ای شدن حین تغییرشکل موسمان را حذف می‌کند.

**واژه‌های کلیدی** فولاد TWIP؛ آلومینیم؛ انرژی نقص در چیده شدن؛ دوقلویی مکانیکی.

### Effect of Aluminum Addition on the Microstructure and Mechanical Properties of High Manganese Austenitic Steel Fe-18Mn-0.6C

S. Majidi

S. Kheirandish

M. Abbasí

#### Abstract

In this research, the effect of 2.3 wt.% aluminum addition on the microstructure and tensile properties of high manganese austenitic steel Fe-18Mn-0.6C was studied. For this purpose, the samples were investment cast, homogenized and hot rolled. Tensile testing was carried out at ambient temperature. Microstructural investigations and fractography on the steel samples were carried out using an optical microscope and a scanning electron microscope. The results showed that the aluminum addition increases the austenite grain size. In addition, 2.3 wt.% aluminum addition increases the yield strength and plastic strain, decreases the ultimate tensile strength and eliminates the serrated flow during plastic deformation.

**Key words** TWIP Steel; Aluminum; Stacking Fault Energy; Mechanical Twinning.

\* نسخه نخست مقاله در تاریخ ۹۴/۷/۷ و نسخه پایانی آن در تاریخ ۹۲/۱۱/۲۶ به دفتر نشریه رسیده است.

(۱) دانشجوی کارشناسی ارشد دانشکده مهندسی مواد و متالورژی دانشگاه علم و صنعت ایران

(۲) استاد دانشکده مهندسی مواد و متالورژی دانشگاه علم و صنعت ایران

(۳) نویسنده مسئول: استادیار گروه مهندسی مواد دانشگاه صنعتی نوشیروانی بابل. kheirandish@just.ac.ir

سازوکار DSA در کارسختی نقش مؤثرتری نسبت به لغزش و برهمکنش نابجایی‌ها داشته باشند [7,9,11]. مقدار انرژی نقص در چیده شدن وابسته به ترکیب شیمیایی و دما است؛ به عنوان مثال آلیاژسازی با آلومینیم باعث افزایش انرژی نقص در چیده شدن می‌شود که این امر باعث تغییر مکانیزم تغییرشکل از استحالة فازی به دوقلویی مکانیکی و از دوقلویی مکانیکی به لغزش نابجایی می‌شود. افزودن آلومینیم به این فولادها، تنفس لازم برای لغزش نابجایی‌ها را افزایش داده و در نتیجه سبب افزایش استحکام تسلیم و نرخ کارسختی در کرنش‌های پایین می‌شود [12-14] در مقابل، افزودن آلومینیم با کاهش اکتیویته کربن، سبب تضعیف پیرسازی کرنشی دینامیکی [17-12] و کاهش استحکام کششی و کاهش نرخ کارسختی در کرنش‌های بالا می‌شود [4,14].

در این تحقیق سعی شده با تکیه بر ریزساختار نمونه‌ها قبل و بعد از آزمایش کشش، به بررسی و تحلیل تغییر خواص مکانیکی در اثر افزودن آلومینیم به این فولاد پرمنگنز کربن متوسط پرداخته شود.

### روش تحقیق

عملیات ذوب و آلیاژسازی با استفاده از کوره القایی با فرکانس بالا و حداقل ظرفیت ۱۰۰ کیلوگرم انجام شد. پس از ذوب ریزی در قالب سرامیکی، شمش‌هایی با بعاد  $14 \times 6 \times 3$  بدست آمد. در جدول (۱) ترکیب شیمیایی و انرژی نقص در چیده شدن محاسباتی آلیاژها ارائه شده است. انرژی نقص انباشتگی بر اساس ترکیب شیمیایی و رابطه (۱) محاسبه شده است [13,18].

$$\gamma_{sf} = 20 - 259X_{Fe} + 21X_{Mn} - 24595X_C + 297X_{Al} - 90X_{Si} \\ - 466 \frac{X_{Fe}X_{Mn}}{X_{Fe} + X_{Mn}} + 2550 \frac{X_{Fe}X_C}{X_{Fe} + X_C} + 3323 \frac{X_{Fe}X_{Al}}{X_{Fe} + X_{Al}} + 107 \frac{X_{Fe}X_{Si}}{X_{Fe} + X_{Si}}$$

(۱)

که  $X_{Fe}$ ،  $X_C$ ،  $X_{Al}$ ،  $X_{Mn}$  و  $X_{Si}$  کسر مولی عناصر مختلف در آلیاژ می‌باشند.

برای یکنواخت‌سازی ریزساختار و از بین بردن

### مقدمه

آلیاژسازی فولادهای آستینیتی منگنزی با آلومینیم و توسعه سیستم Fe-Mn-Al-C موضوع نسبتاً جدیدی است. طی سال‌های اخیر محققان متعددی مباحثه مربوط به استحاله‌های فازی، رفتار تغییرشکل موسمان، کارسختی و سایش ترکیبات مختلفی از این سیستم آلیاژی را مورد بررسی قرار دادند [1-8]. در این بین می‌توان به تحقیقات ورکامن و همکاران [9] اشاره کرد که رفتار نورد سرد آلیاژ Fe-30Mn-3Al-3Si را بررسی کردند. ژونگ و همکاران [2] بررسی‌های ریزساختاری و تغییرشکل موسمان در فولاد پرمنگنز آلیاژشده با آلومینیم را دنبال کردند. همچنین عباسی و همکاران [4,5] اثر آلومینیم بر ریزساختار، خواص مکانیکی و رفتار سایشی فولاد هادفیلد (آلیاژ متداول آستینیتی منگنزی) را بررسی کردند. کاندیک و همکاران [7] رفتار کارسختی در تک‌بلور فولاد هادفیلد آلیاژشده با آلومینیم را مورد بررسی قرار داد.

فولادهای آستینیتی پرمنگنز به واسطه‌ی توان کارسختی و استحکام بالا به همراه چقرمگی و انعطاف‌پذیری بسیار خوب شناخته شده هستند. این مجموعه خواص بالا سبب شده تا این فولادها در صنایع اتومبیل‌سازی برای ساخت قطعات شکل‌دهی پرسی مانند بدنه اتومبیل برای جذب انرژی هنگام تصادف مورد استفاده قرار گیرند [8-10]. خواص مکانیکی منحصر به فرد این فولادها ناشی از سازوکارهای متعدد تغییرشکل موسمان و کارسختی آنها نظیر استحاله ناشی از تغییرشکل موسمان (Transformation Induced Plasticity - TRIP) دوقلویی ناشی از تغییرشکل موسمان (Twinning - TWIP) و پیرسازی کرنشی (Induced Plasticity - IP) است. در دینامیکی (Dynamic Strain Aging, DSA) این فولادها مقدار پایین انرژی نقص در چیده شدن (Stacking Fault Energy - SFE) دو سازوکار TWIP و TRIP در تغییرشکل پلاستیک و

جدول ۱ ترکیب شیمیایی نمونه‌ها و انرژی نقص در چیده شدن  
محاسبه شده طبق معادلات ترمودینامیکی

SFE mj/m <sup>2</sup>	مقدار عنصر بر حسب درصد وزنی				نمونه
	Fe*	Al	C	Mn	
۲۱/۷	باقیه	۰/۰۱	۰/۶۲	۱۸/۱۲	بدون آلومینیم
۳۴/۳	باقیه	۲/۳۲	۰/۶۴	۱۸/۰۴	آلومینیم دار

\* مقدار Si : ۰/۵ درصد وزنی و  
مجموع سایر عناصر ناخالصی: کمتر از ۰/۱ درصد وزنی

جدول ۲ تغییر ضخامت شمش‌ها طی هر مرحله نورد (ضخامت اولیه: ۳۰ میلیمتر)

مرحله	۵	۴	۳	۲	۱
ضخامت (میلیمتر)	۴	۷	۱۲	۱۸	۲۴

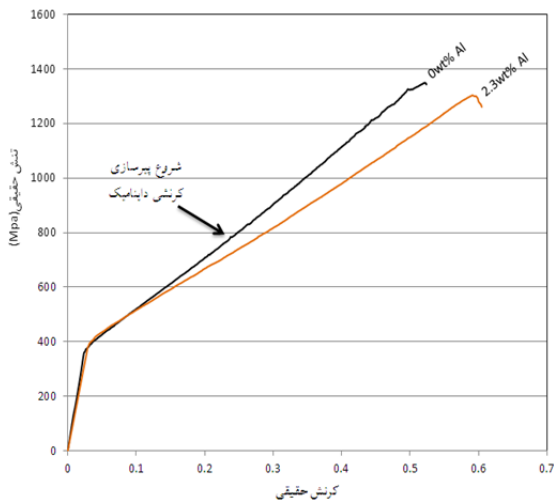
### نتایج و بحث

مشاهدات میکروسکوپی بعد از نورد گرم. شکل (۱) تصاویر میکروسکوپ نوری از ورق‌های نورد گرم شده قبل از آزمایش کشش را نشان می‌دهد. مشاهده می‌شود که ریزساختار شامل دانه‌های همگن آستینت است که در برخی از دانه‌ها، دوقلوهای حرارتی (خطوط مستقیم و موازی) نیز مشاهده می‌شود. در نمونه آلومینیم دار، ناخالصی و آخال‌های غیرفلزی بیشتری مشاهده می‌شود که می‌تواند به علت حضور آلومینیم باشد. در شکل (۲) نمودار اندازه دانه دو نمونه بدون آلومینیم و آلومینیم دار نمایش داده شده است. مشاهده می‌شود که افزودن ۲/۳ درصد وزنی آلومینیم، قطر متوسط دانه را از ۹۷ به ۱۴۸ میکرومتر افزایش می‌دهد.

انرژی نقص در چیده شدن پایین این فولادها باعث ایجاد دوقلویی‌های مکانیکی حین تغییر شکل می‌شود [۷]، محل برخورد دوقلویی‌های مکانیکی با مرزدانه‌ها و دوقلویی‌های دیگر، می‌تواند محل مناسبی برای جوانهزنی و رشد دانه‌های تبلور مجددیافته حین و بعد از عملیات نورد باشد [۲۳]، افزایش انرژی نقص در چیده شدن بر اثر افزودن آلومینیم سبب کاهش چگالی

جدایش عناصر آلیاژی در بلوک‌های ریختگی، عملیات حرارتی هموژن‌سازی در دمای ۱۱۰۰ °C به مدت ۲ ساعت انجام شد و سپس نمونه‌ها در هوا سرد شدند [۱۹]. از یک دستگاه نورد آزمایشگاهی با قطر ۲۰۰ میلیمتر برای عملیات شکل دهنی استفاده شد. به این منظور شمش‌ها مجدد تا دمای ۱۲۰۰ °C به مدت ۳۰ دقیقه آستینتیه و طی ۵ مرحله نورد، ضخامت از ۳۰ به ۴ میلیمتر کاهش داده شد. تغییر ضخامت ورق در مراحل مختلف نورد در جدول (۲) ارائه شده است. پس از نورد، ورق‌ها در دمای ۱۱۰۰ °C به مدت ۱۰ دقیقه هم‌دما شده و سپس در آب سریع سرد شدند [۲۰]. نمونه‌های آزمایش کشش طبق استاندار ASTM-E8 [۲۱] با طول سنجه ۲۵ میلیمتر با استفاده از برش با سیم (وایرکات) تهیه شدند. برای آزمون کشش از دستگاه کشش مدل QUASAR ۶۰۰ ساخت شرکت GALDABINI با ظرفیت ۵۰ تن و سرعت کرنش ۱ میلیمتر بر دقیقه استفاده شد. هر آزمایش کشش با سه بار تکرار صورت گرفت. برای متالوگرافی از نمونه‌ها در دو مرحله قبل و بعد از کشش نمونه‌برداری شد. پس از سنباده‌زنی تا سنباده ۲۵۰۰ و پولیش با آلومینای ۱ میکرومتر، نمونه‌ها در دو مرحله اچ (حکاکی) شدند. در مرحله اول به مدت چند ثانیه در محلول ۰/۲٪ نایتال قرار داده شدند و پس از شستشو با الكل، به طور کامل خشک شدند و در مرحله بعد در محلول ۱۰ درصد حجمی هیدروکلریک اسید در اتانول برای از بین بردن لایه زردزنگ (ایجاد شده پس از حکاکی با محلول نایتال) و نیز افزایش وضوح مرزدانه‌ها و مرزهای دوقلویی به مدت چند ثانیه قرار داده شدند و سپس شسته و خشک شدند [۲۲]. برای مطالعات ریزساختاری و شکستنگاری از میکروسکوپ نوری MEIJI مدل MA۳۲۶ و میکروسکوپ الکترونی رویشی Tescan Roventec Vega II XMU ۳۰ کیلوولت استفاده شد. بررسی‌های ریزساختاری روی نمونه‌های کشش در ۱۰ میلیمتر زیر سطح شکست انجام شد.

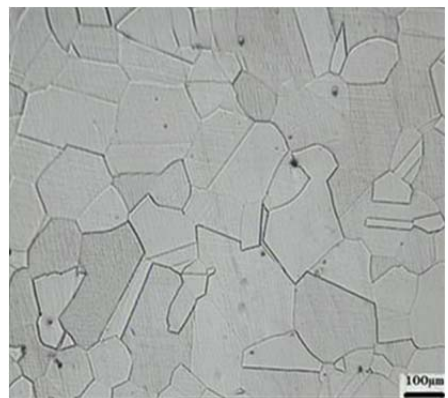
**بررسی خواص کششی.** در شکل (۳) نتایج آزمایش کشش به صورت منحنی تنش-کرنش حقيقی ارائه شده است. مشاهده می‌شود که منحنی مربوط به نمونه بدون آلومینیم در کرنش حقيقی حدود ۰/۲۷ شروع به دندانه‌ای شدن (کنگره‌ای شدن) کرده و تا انتهای فرایند کشش این رفتار ادامه دارد و در پایان تقریباً بدون افت در منحنی، شکست اتفاق افتاده است. درحالی که برای منحنی نمونه آلومینیم دار، رفتار دندانه‌ای بسیار تضعیف شده و قابل شناسایی در منحنی‌های کشش نیست. همچنین در مراحل شکست، کمی افت استحکام نیز مشاهده شده است.



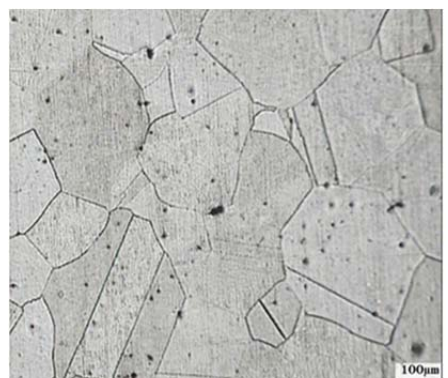
شکل ۳ نمودار تنش-کرنش حقيقی برای دو نمونه بدون آلومینیم و آلومینیم دار

ایجاد منحنی دندانه‌ای و پیرسازی کرنشی دینامیکی در این دسته از فولادها ناشی از نفوذ اتم‌های کربن در هسته نابجایی‌ها و جلوگیری از حرکت نابجایی‌ها و برهم‌کنش جفت‌های Mn-C با نابجایی‌ها است [17,24]. به عبارت دیگر، دندانه‌دار شدن نمودار تنش-کرنش زمانی اتفاق می‌افتد که اتم محلول قابلیت حرکت در هسته نابجایی را دارد ولی در شبکه کریستالی این قابلیت را ندارد. وقوع این پدیده تابعی از غلظت عناصر محلول، نرخ کرنش، میزان کرنش و دما است [2,25]. افزایش آلومینیم سبب کاهش فعالیت و نفوذ اتم‌های کربن در هسته نابجایی می‌شود. بنابراین

دو قلویی‌های مکانیکی حین عملیات نورد گرم می‌شود و در نتیجه کاهش مناطق جوانه‌زنی دانه‌ها حین و پس از عملیات نورد و افزایش اندازه دانه را در پی دارد.

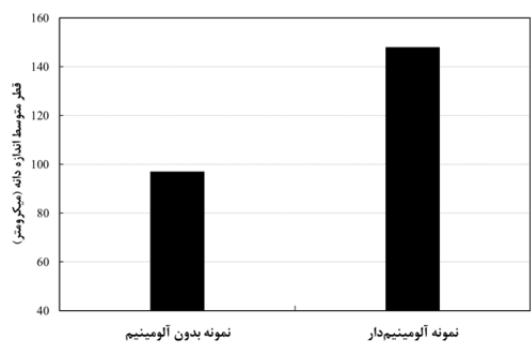


(الف)



(ب)

شکل ۱ تصویر میکروسکوپ نوری قبل از آزمایش کشش نمونه:  
الف) بدون آلومینیم (ب) آلومینیم دار



شکل ۲ اندازه متوسط دانه برای دو نمونه ورق نورد گرم شده بدون آلومینیم و آلومینیم دار

کاهش یافته و در نتیجه فاصله بین آنها افزایش یافته است. می‌توان گفت با افزودن آلومینیم بدلیل افزایش انرژی نقص در چیده شدن، جدول (۱)، لغزش متقطع نابجایی‌ها افزایش یافته و تنش لازم برای تشکیل دو قلویی افزایش می‌یابد و ایجاد دو قلویی‌های مکانیکی سخت‌تر می‌شود [۷,28,29].

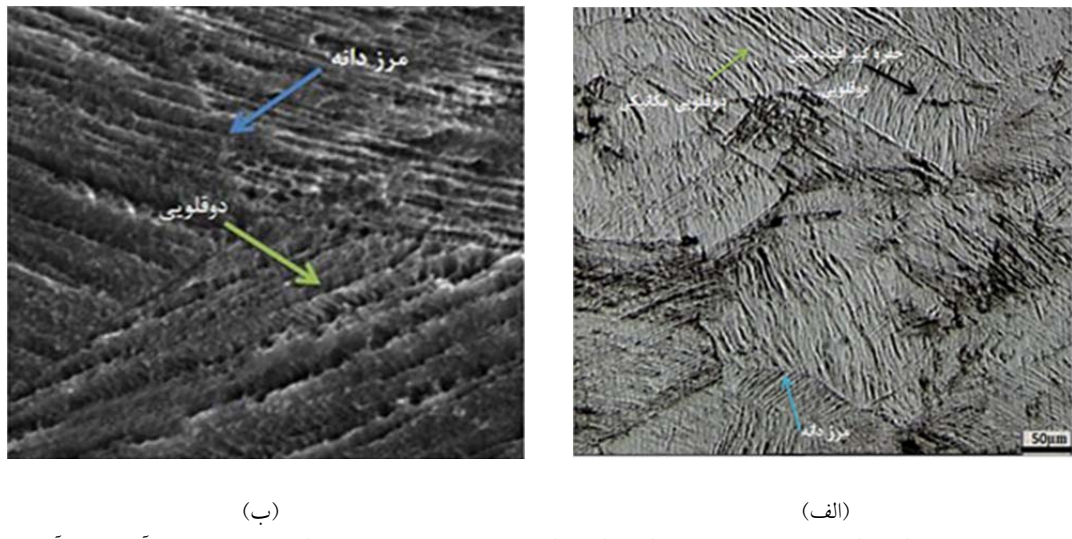
کاهش میزان دو قلویی‌های مکانیکی و افزایش فاصله بین آنها سبب شده که مسیر آزاد برای حرکت نابجایی‌ها افزایش یابد. به علاوه، افزایش انرژی نقص در چیده شدن باعث آسان شدن لغزش متقطع نابجایی‌ها از موضع حرکت آنها می‌شود [۳۱,۳۰]. سهولت در لغزش متقطع و کاهش چگالی و افزایش فاصله دو قلویی‌های مکانیکی، سبب شده که نابجایی‌ها بتوانند با اعمال تنش کمتری حرکت کرده و کاهش حد نهایی کشش را به همراه داشته باشد. علاوه بر این، عدم نفوذ اتم‌های کربن و حذف پیرسازی کرنشی با افزودن آلومینیم نیز می‌تواند یکی از دلایل کاهش حد نهایی کشش باشد [۱,7,4 ۱۷,۳۱,۳۰].

در شکل (۴-ب) حفرات بسیار ریز زیادی در نزدیکی مرزهای دو قلویی دیده می‌شوند، این حفرات در شکل (۵-ب) حذف شده‌اند. حفرات ریز بین دو قلویی‌ها می‌توانند ناشی از عیوب نقطه‌ای باشند که بر اثر پیرسازی کرنشی دینامیکی (DSA)، حین عملیات کشش ایجاد می‌شوند [۳۱,۱۷,۴]. تشکیل زوج‌های C و برهم‌کنش آن‌ها با نابجایی‌ها می‌تواند باعث جوانه‌زنی حفرات نانومتری شود و از به هم پیوستن این حفرات، حفرات میکرومتری، که در شکل (۴-ب) دیده می‌شود؛ ایجاد شود [۴]. به نظر می‌رسد چگالی بالای این حفرات و به هم پیوستن آنها، در شکست آلیاژ بدون آلومینیم تأثیر بسیاری داشته باشد که در بخش بعد به بررسی آن پرداخته خواهد شد.

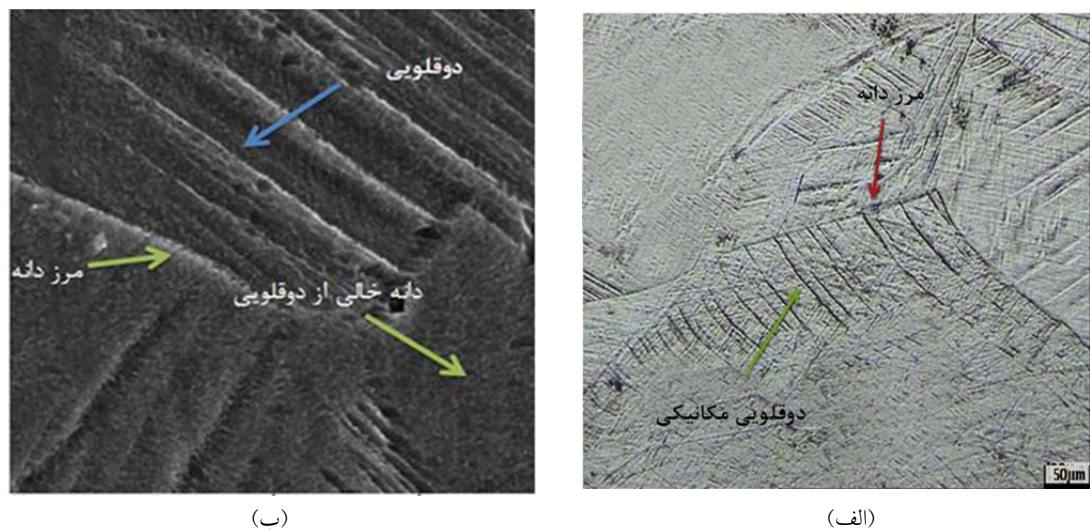
اتم‌های کربن در نمونه با ۲/۳٪ آلومینیم کمتر می‌توانند در حرکت نابجایی‌ها مشکل ایجاد کنند و بنابراین تضعیف رفتار دندانهای را به همراه دارد [۱7,26,27]. با توجه به شکل (۳)، افزودن ۲/۳ درصد وزنی آلومینیم سبب افزایش تنش تسیلیم از ۳۶۶ به ۴۰۵ مگاپاسکال و افزایش حداکثر کرنش حقیقی از ۰/۵۲ به ۰/۵۴ و کاهش حد نهایی کشش از ۱۳۵۰ به ۱۳۰۰ مگاپاسکال شده است. افزایش استحکام تسیلیم با افزودن آلومینیم می‌تواند ناشی از استحکام‌بخشی محلول جامد و افزایش نیروی لازم برای لغزش نابجایی باشد [۴]. اما تغییرات حد نهایی کشش و حداکثر کرنش حقیقی را می‌توان به برهم‌کنش‌های دو قلویی شدن، لغزش نابجایی‌ها و پدیده پیرسازی کرنشی دینامیکی مرتبط دانست که با تصاویر میکروسکوپی بعد از کشش از نمونه‌ها قابل مشاهده است. البته وجود منحنی دندانهای در انتهای منحنی تنش-کرنش حقیقی و شکست ناگهانی (بدون گلویی شدن) می‌تواند تا حدودی گویای این حقیقت باشد که فرایند پیرسازی کرنشی دینامیکی سبب کاهش میزان تغییر طول در نمونه بدون آلومینیم نسبت به نمونه آلومینیم‌دار شده است و در نتیجه شکست در کرنش کمتر مشاهده می‌شود.

بررسی ریزساختار بعد از شکست نمونه کشش. شکل‌های (۴) و (۵) تصاویر میکروسکوپ نوری و الکترونی رویشی از زیر سطح شکست نمونه کشش به ترتیب برای دو آلیاژ بدون آلومینیم و با آلومینیم را نشان می‌دهند. در این تصاویر، خطوط نشان دهنده تغییر شکل در اثر دو قلویی است که در ابعاد بسیار ریز و کمتر از یک میکرومتر می‌توانند ایجاد شوند. به عبارت دیگر، کرنش دو قلویی از سازوکار اصلی تغییر شکل در این دو آلیاژ است که به صورت میکرودو قلویی قابل تشخیص است [۱,12].

با افزودن آلومینیم، چگالی دو قلویی‌های مکانیکی



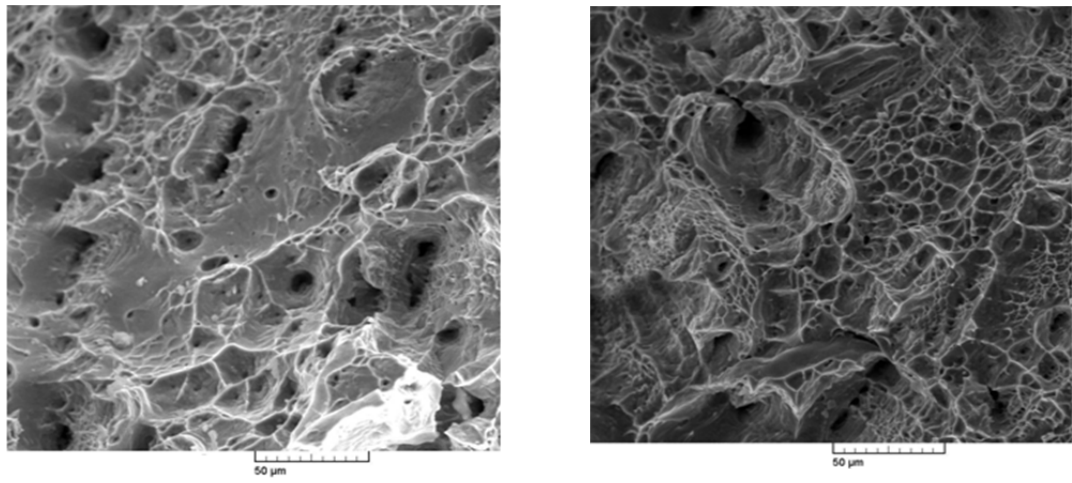
شکل ۴ (الف) تصویر میکروسکپ نوری (ب) تصویر میکروسکپ الکترونی رویشی از زیر سطح شکست نمونه کشش آلیاژ بدون آلومینیم



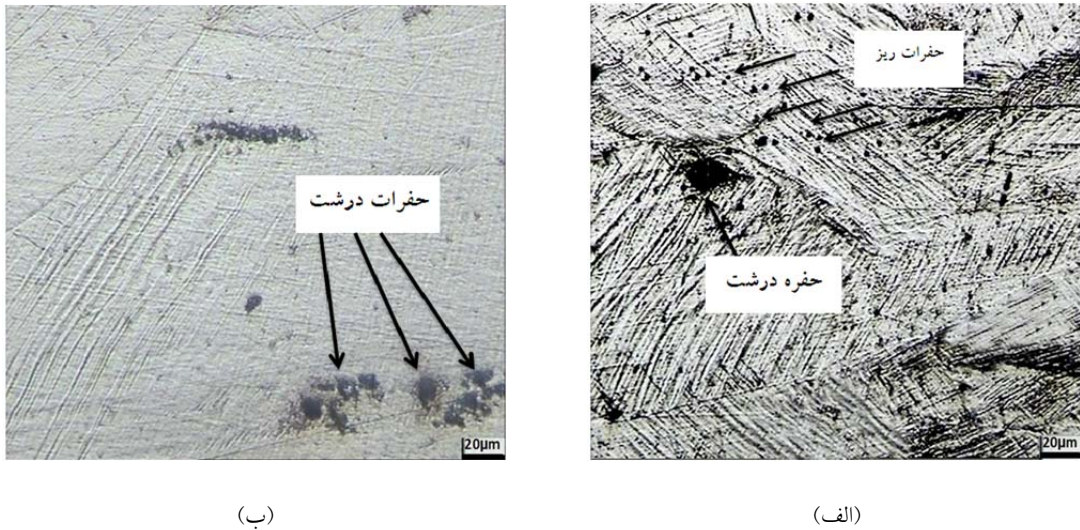
شکل ۵ (الف) تصویر میکروسکپ نوری (ب) تصویر میکروسکپ الکترونی رویشی از زیر سطح شکست نمونه کشش آلیاژ آلومینیم دار

رسوبات حل نشده و یا آخالهای غیرفلزی می‌توانند محل مناسبی برای جوانهزنی حفرات درشت (دیمپل‌های اولیه) باشند [12,15]. در مقابل، وجود حفرات ریز (دیمپل‌های ثانویه) در فضای بین دیمپل‌های اولیه نشان می‌دهد که این فضای مکانیزم برش شکسته نمی‌شود، بلکه دیمپل‌های ثانویه‌ای تشکیل می‌شود که شکست را بسیار نرم می‌کند.

بررسی سطح شکست. در شکل (۶)، تصاویر میکروسکپ الکترونی رویشی از سطح شکست نمونه‌های بدون آلومینیم و آلومینیم‌دار مشاهده می‌شود. وجود حفرات ریز و درشت در تصاویر سطح شکست نشانگر شکست بسیار نرم [۲۳, ۴] در هر دو نمونه است. در شکل (۶-الف) برای نمونه بدون آلومینیم در سطح شکست، حفرات درشتی (دیمپل‌های اولیه) دیده می‌شود که اطراف آنها حفرات ریزتری (دیمپل‌های ثانویه) وجود دارد.



شکل ۶ تصویر میکروسکپ الکترونی روبشی از سطح شکست نمونه: (الف) بدون آلومینیم و (ب) نمونه آلومینیم دار



شکل ۷ تصویر میکروسکپ نوری از زیر سطح شکست در نمونه: (الف) بدون آلومینیم و (ب) آلومینیم دار

طرف سبب کاهش استحکام شده و از طرف دیگر، با کاهش موانع در برابر لغزش نابجایی‌ها، کرنش مومنان کل را افزایش داده است.

شکل (۷) تصاویر میکروسکوپی از نشانه‌های تغییرشکل پلاستیک در زیر سطح شکست را برای دو آلیاژ نشان می‌دهد. در شکل (۷-الف) حفرات ریز (کمتر از یک میکرومتری) متعددی وجود دارد که نسبت به نمونه آلومینیم دار در شکل (۷-ب)، قابل توجه است. به وضوح مطابق شکل (۷-ب)، حفرات

بررسی‌های محققان قبلی نشان داده است که پدیده پیرسازی کرنشی دینامیکی و برهمکنش مرزهای دوقلویی‌ها عامل اصلی تشکیل این دیمپل‌های ثانویه هستند [۳۱، ۴]. در تصویر سطح شکست نمونه آلومینیم دار شکل (۶-ب)، تعداد حفرات ریز کمتر شده و حفرات درشت بیشتری دیده می‌شود که به علت تضعیف پدیده پیرسازی کرنشی دینامیکی است. بنابراین، مطابق شکل (۳)، حذف یا تضعیف پدیده پیرسازی کرنشی دینامیکی در آلیاژ آلومینیم دار از یک

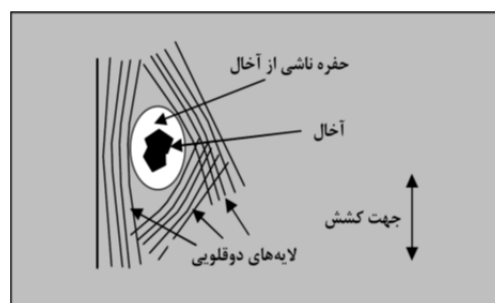
### نتیجه‌گیری

۱. افروden ۲/۳ درصد وزنی آلومینیم به فولاد آستنیتی Fe-17Mn-0.6C سبب افزایش اندازه دانه از ۹۷ به ۱۴۸ میکرومتر بعد از نورد گرم می‌شود.
۲. افروden ۲/۳ درصد وزنی آلومینیم سبب افزایش تنش تسلیم از ۳۶۶ به ۴۰۵ مگاپاسکال و افزایش حداکثر کرنش حقیقی از ۰/۵۲ به ۰/۵۴ و کاهش حد نهایی کشش از ۱۳۵۰ به ۱۳۰۰ مگاپاسکال می‌شود.
۳. افروden آلومینیم باعث حذف منحنی دندانه‌ای حین آزمون کشش می‌شود.
۴. شکستنگاری سطوح شکست و بررسی‌های میکروسکوپی نشان داد که مرز لایه‌های دوقلویی موانعی برای رشد حفره‌هایی (دیمپل‌هایی) هستند که از فازهای ثانویه یا آخال‌ها تشکیل می‌شوند.

### تشکر و قدردانی

از مدیران و کارکنان محترم شرکت ریخته‌گری دقیق ساری به خصوص حمایت‌های ارزشمند آقایان مهندس اسلامی و مهندس قلی نژاد، صمیمانه تشکر و قدردانی می‌شود.

در مناطق با چگالی کمتر و یا خالی از دوقلویی، فرصت رشد پیدا کردند و در هم ادغام شده و حفره درشت‌تر ایجاد شده است. از سوی دیگر، در شکل (۷-الف) مشاهده می‌شود که ایجاد کرنش دوقلویی‌ها از رشد حفرات ریز و به هم پیوستن آن‌ها جلوگیری می‌کند. در واقع به علت تمرکز تنش زیاد اطراف حفره‌ها، کرنش دوقلویی‌ها در اطراف حفره فعال می‌شود و بنابراین این دوقلویی‌ها مانع رشد حفره می‌شوند. این پدیده به صورت نمادین در شکل (۸) نشان داده شده است. پس می‌توان نتیجه گرفت که کرنش‌های دوقلویی‌ها از رشد حفرات جلوگیری می‌کنند [۴، ۳۰].



شکل ۸ تصویر نمادین از نقش دوقلویی‌ها در جلوگیری از رشد حفره ناشی از یک آخال [۳۰]

### مراجع

1. Wu Z.Q., Ding H., An X.H., Han D., Liao, X.Z., "Influence of Al content on the strain-hardening behavior of aged low density Fe–Mn–Al–C steels with high Al content", *Materials Science and Engineering: A*, Vol. 639, No. 15, pp. 187-191, (2015).
2. Zhang L., Song R., Zhao C., Yang F., "Work hardening behavior involving the substructural evolution of an austenite–ferrite Fe–Mn–Al–C steel", *Materials Science and Engineering: A*, Vol. 640, No. 29, pp. 225-234, (2015).
3. Yang F., Song R., Li Y., Sun T., Wang, K., "Tensile deformation of low density duplex Fe–Mn–Al–C steel", *Materials & Design*, Vol. 76, No. 5, pp. 32-39, (2015).
4. Abbasi M., Kheirandish Sh., Kharrazi Y., Hejazi, J., "The fracture and plastic deformation of aluminum alloyed Hadfield steels", *Materials Science and Engineering A*, Vol. 513–514, No. 72–76, (2009).
5. Abbasi M., Kheirandish Sh., Kharrazi Y., Hejazi J., "On the comparison of the abrasive wear behavior of aluminum alloyed and standard Hadfield steels", *Wear*, Vol. 268, No. 1–2, 4, pp. 202-207, (2010).

6. Medvedeva N.I., Park M.S., Van-Aken D.C., Medvedeva J.E., "First-principles study of Mn, Al and C distribution and their effect on stacking fault energies in FCC Fe", *Journal of Alloys and Compounds*, Vol. 582, No. 5, pp.475-482, (2014).
7. Canadinc D., Sehitoglu H., Maier H.J., Chumlyakov Y.I., "Strain hardening behavior of aluminum alloyed Hadfield steel single crystals", *Acta Materialia*, Vol. 53, pp. 1831-1842, (2005).
8. Bouaziz O., Allain S., Scott C., "Effect of grain and twin boundaries on the hardening mechanisms of twinning-induced plasticity steels", *Scripta Materialia*, Vol. 58, pp.484-487, (2008).
9. Vercammen S., Blanpain B., De-Cooman B.C., Wollants P., "Cold rolling behavior of an austenitic Fe–30Mn–3Al–3Si TWIP-steel: the importance of deformation twinning", *Acta Materialia*, Vol. 52, pp. 2005-2012, (2004).
10. Jeong J.S., Woob W., Oh K.H., Kwon S.K., Koo Y.M., "In situ neutron diffraction study of the microstructure and tensile deformation behavior in Al-added high manganese austenitic steels", *Acta Materialia*, Vol. 60, pp. 2290–2299, (2012).
11. Gebhardt Th., Music D., Kossman D., Ekholm M., Abrikosov A., Vitos L., "Elastic properties of FCC Fe–Mn–X (X=Al, Si) alloys studied by theory and experiment", *Acta Materialia*, Vol. 59, pp. 3145–3155, (2011).
12. Jin J.E., Lee Y.K., "Effects of Al on microstructure and tensile properties of C-bearing high Mn TWIP steel", *Acta Materialia*, Vol. 60, pp.1680–1688, (2012).
13. Dumaya A., Chateau J.P., Allain S., Migot S., Bouaziz O., "Influence of addition elements on the stacking-fault energy and mechanical properties of an austenitic Fe–Mn–C steel", *Materials Science and Engineering A*, Vol. 483–484, pp.184–187, (2008)
14. Grassel O., Kruger L., Frommeyer G., Meyer L.W., "High strength Fe-Mn-(Al,Si) TRIP/TWIP steels development properties application", *International Journal of Plasticity*, Vol.16, pp.1391-1409, (2000).
15. Hamada A.S., Karjalainen L.P., Somani M.C., "The influence of aluminum on hot deformation behavior and tensile properties of high-Mn TWIP steels", *Material Science and Engineering A*, Vol. 467, pp. 114-124, (2007).
16. Yoo J.D., Hwang S.W., Park K.T., "Factors influencing the tensile behavior of a Fe–28Mn–9Al–0.8C steel", *Materials Science and Engineering A*, Vol. 508, pp. 234–240, (2009).
17. Koyama M., Sawaguchi T., Lee T., Lee C.S., Tsuzaki K., "Work hardening associated with  $\epsilon$ -martensitic transformation, deformation twinning and dynamic strain aging in Fe–17Mn–0.6C and Fe–17Mn–0.8C TWIP steels", *Materials Science and Engineering A*, Vol. 528, pp.7310–7316, (2011).
18. Allain S., Chateau J.P., Bouaziz O., Migot S., Guelton N., "Correlations between the calculated stacking fault energy and the plasticity mechanisms in Fe–Mn–C alloys", *Materials Science and*

- Engineering A*, Vol. 387–389, pp. 158–162, (2004).
19. ASM Handbook, Vol. 1, "Properties and Selection Irons, Steel, and High Performance Alloy", (2005).
20. Razavi Gh.R., Ansaripour A., Monajatizadeh H., Toroghinejad M.R., "An investigation on full annealing temperature and annealing twins density in Fe-33Mn-3Si-2Al high-manganese steel", *Journal of Advanced Materials and Processing*, Vol. 1, pp. 3-9, (2012).
21. ASTM E8M-04, "Standard Test Methods for Tension Testing of Metallic Materials [Metric]", *ASTM International*, West Conshohocken, PA 19428-2959, United States, (2004).
22. ASM Handbook, Vol. 9, "Metallography and Microstructures", Austenitic Manganese Steel Castings, (2004).
۲۳. رید-هیل ر.ای., عباسچیان ر., ترجمه صالحی م.ت., عبدالله پور ح., حسینی نسب ف., "اصول متالورژی فیزیکی", ویرایش سوم، مرکز انتشارات دانشگاه علم و صنعت ایران، (۱۳۸۶).
24. Almeida L.H., May I., Emygdio P.R.O., "Mechanistic modeling of dynamic strain aging in austenitic stainless steels", *Material characterization*, Vol. 41, pp. 137-150, (1998).
25. Hong S.G., Lee S.B., "Mechanism of dynamic strain aging and characterization of its effect on the low-cycle fatigue behavior in type 316L stainless steel", *Journal of Nuclear Materials*, Vol. 340, pp. 307–314, (2005)
26. Owen W.S., Grujicic M., "Strain aging of austenitic Hadfield manganese steel", *Acta Material.*, Vol. 47, pp. 111-126, (1999).
27. Shun S., Wan C.M., Byrne J.G., "Serrated flow in austenitic Fe-Mn-Al-C alloys", *Scripta Metallurgica*, Vol. 25, pp. 1769-1774, (1991).
28. Meyers M.A., Vohringer O., Lubarda V.A., "The onset of twinning metals: A constitutive description", *Acta Material*, Vol. 49, pp. 4025-4039, (2001).
29. Shun T., Wan C.M., Byrne J.G., "A study of work hardening in austenitic Fe-Mn-Al-C alloys" , *Acta Material*, Vol. 40, pp. 3407-3412, (1992).
۳۰. عباسی م., "بررسی تاثیر آلومینیم بر ساختار و خواص مکانیکی فولادهای آستینیتی منگنزی", رساله دکتری، دانشگاه علم و صنعت ایران، (۱۳۸۸).
۳۱. عباسی م., حجازی ج., خیراندیش ش., خرازی ی., "ارتباط بین کرنش دوقطبی و پدیده چروکیدگی سطحی در تغییر شکل موسمان فولاد آستینیتی منگنزی", نشریه مهندسی متالورژی و مواد دانشگاه فردوسی مشهد، سال ۲۵، شماره ۲ بهار و تابستان ص ۱۲-۱، (۱۳۹۳).